

三宅島における地磁気全磁力*

Geomagnetic Total Intensity at Miyakejima Volcano

気象庁地磁気観測所

Kakioka Magnetic Observatory, JMA

東京大学地震研究所

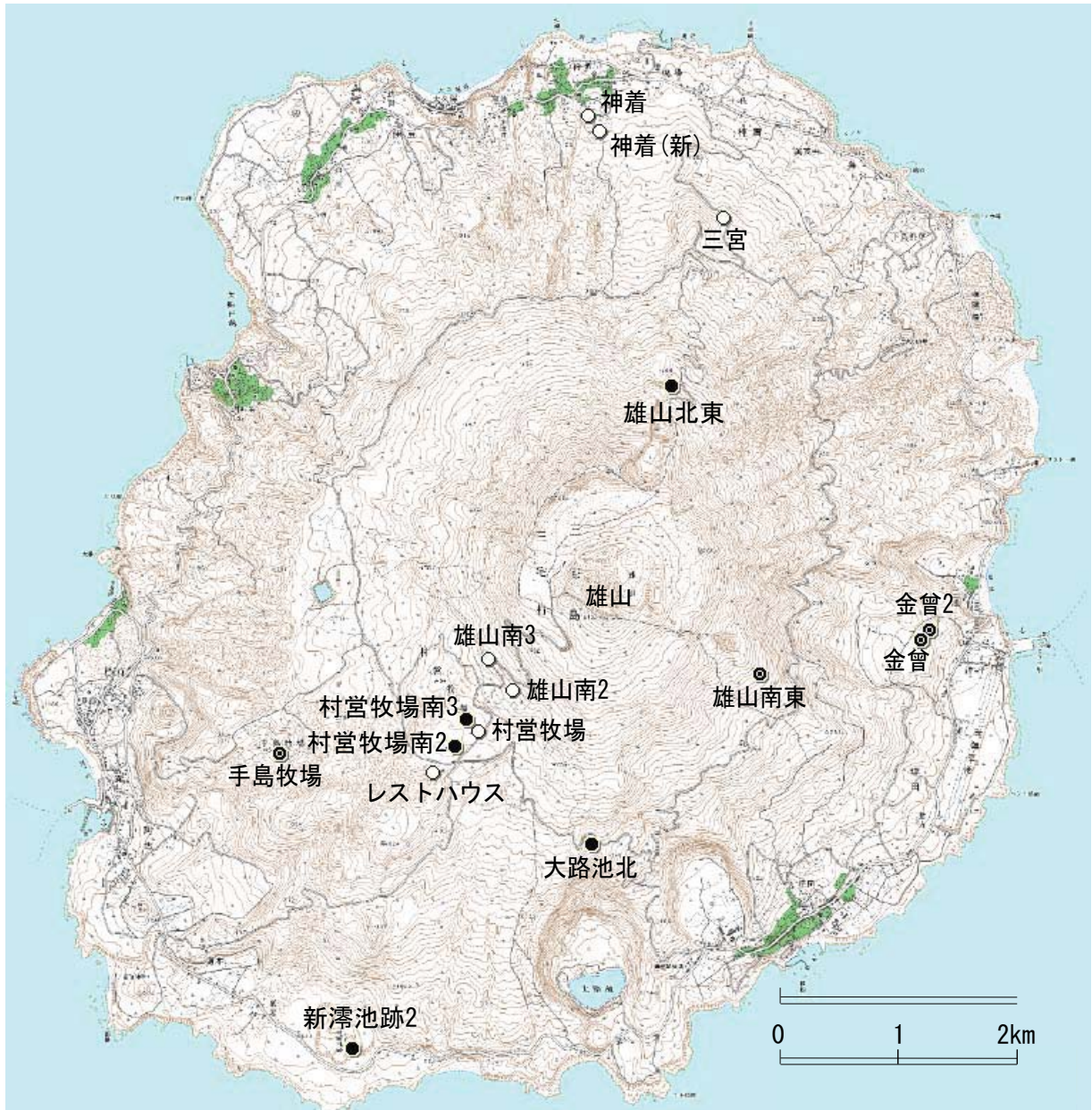
Earthquake Research Institute, The University of Tokyo

気象庁地震火山部火山課火山監視・情報センター

Volcanic Observations and Information Center, Volcanological Division, JMA

三宅島における2011年2月から2011年5月までの地磁気全磁力変化について報告する。

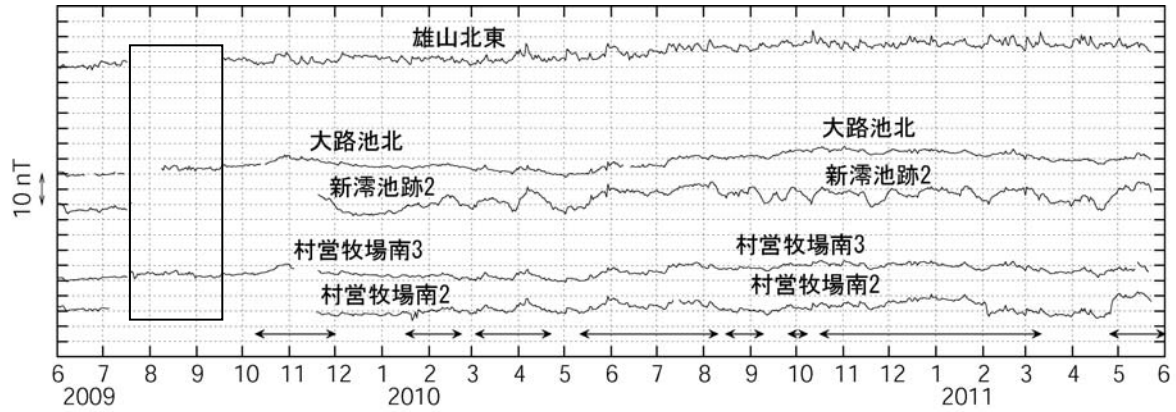
第1図に、三宅島における全磁力連続観測点の位置を示す。第2図と第3図に、神津島（参照点）の全磁力値を基準とした三宅島の各観測点の全磁力差を示す。第2図中の両矢印は黒潮の流軸が三宅島に接近している期間で、海流の影響で新零池跡2や村宮牧場南2などの全磁力が増加したと見られる。三宅島から黒潮の流軸までの距離は海洋速報（海上保安庁）を参照している。2009年7月19日から2009年9月17日は、参照点は雄山北東とした（第2図及び第3図中に当該期間を□で囲む）。地磁気全磁力変化からは年周変化・黒潮等の影響が見られるが、期間中変化傾向に変わりは見られず、特段有意な変化は観測されなかった。また、2001年2月以降の全磁力差の変化について、第4図と第5図に示す。



第1図 全磁力観測点配置図 (●: 気象庁、●: 気象庁 (観測終了)、○: 東大地震研究所)。

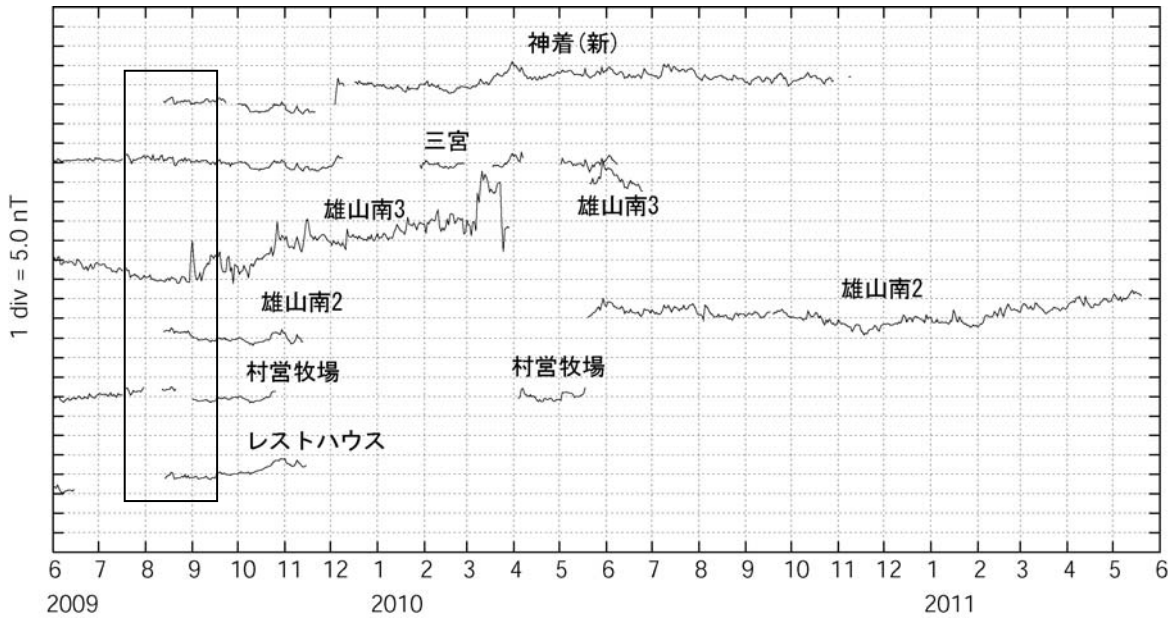
この図は、国土地理院発行の『地形図閲覧サービス (ウォッチず)』からカシミールで作成した。

Fig.1 Locations map of geomagnetic total intensity observation stations. the JMA and ERI stations are marked by ● and ○, respectively, and the JMA discontinued stations are marked by ●.



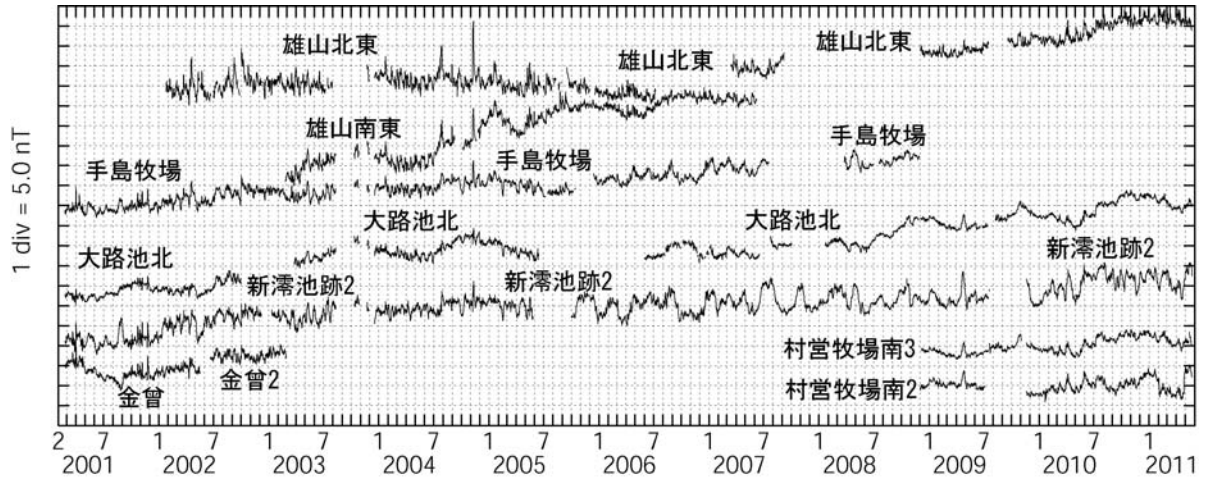
第2図 気象庁観測点の全磁力値と参照点の全磁力値の日平均差 (2009年6月～2011年5月)。

Fig.2 Daily mean values of the geomagnetic total intensities of the JMA stations referred to the station Kozushima (from June 2009 to May 2011).



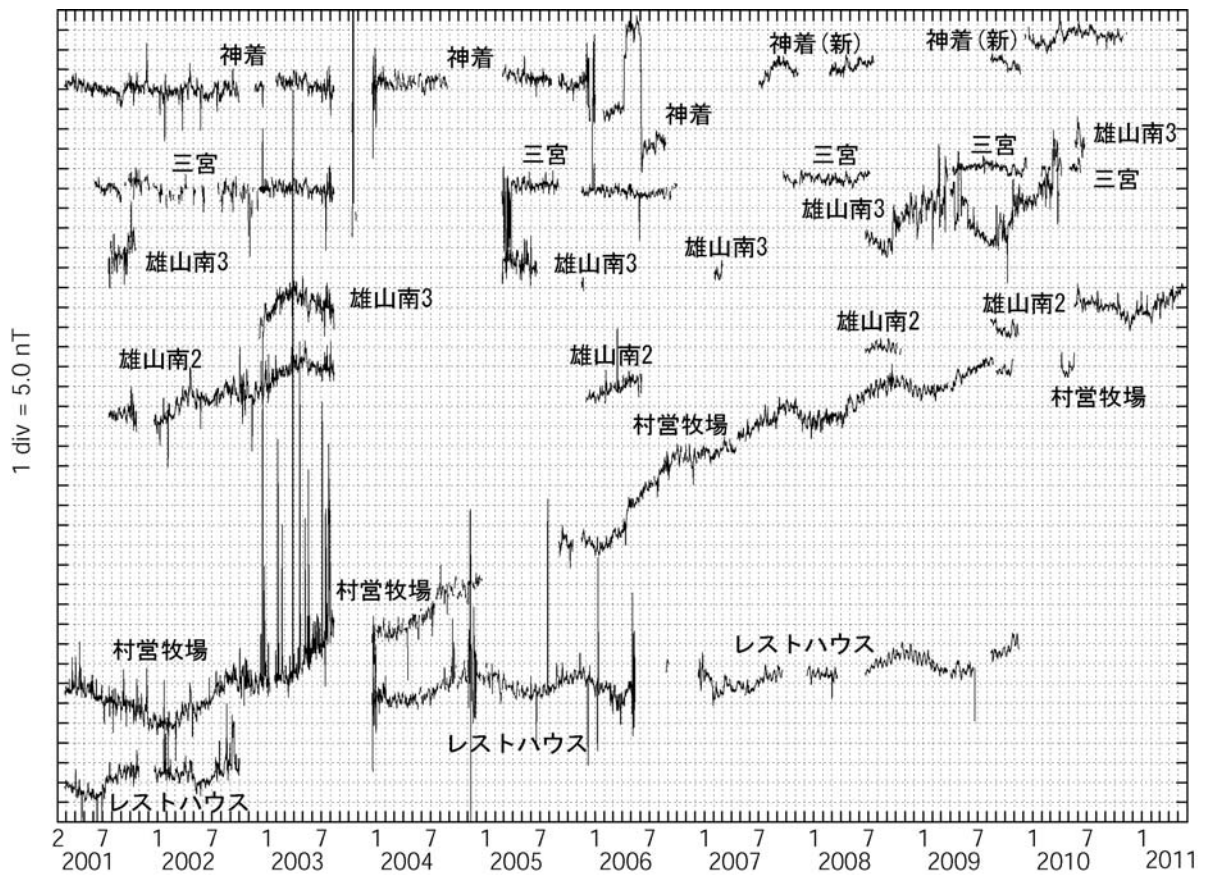
第3図 東京大学各観測点の全磁力値と参照点の全磁力値の日平均差 (2009年6月～2011年5月)

Fig.3 Daily mean values of the geomagnetic total intensities of the ERI stations referred to the station Kozushima (from June 2009 to May 2011).



第4図 気象庁観測点の全磁力値と参照点の全磁力値の日平均差 (2001年2月～2011年5月)

Fig.4 Daily mean values of the geomagnetic total intensities of the JMA stations referred to the station Kozushima (from February 2001 to May 2011).



第5図 東京大学地震研究所観測点の夜間全磁力変化(参照点との単純差) (2001年2月～2011年5月)

Fig.5 Daily mean values of the geomagnetic total intensities of the ERI stations referred to the station Kozushima (from February 2001 to May 2011).